

# ANNEXES

## Général

### Distribution de la CRP médiane en fonction de la charge virale

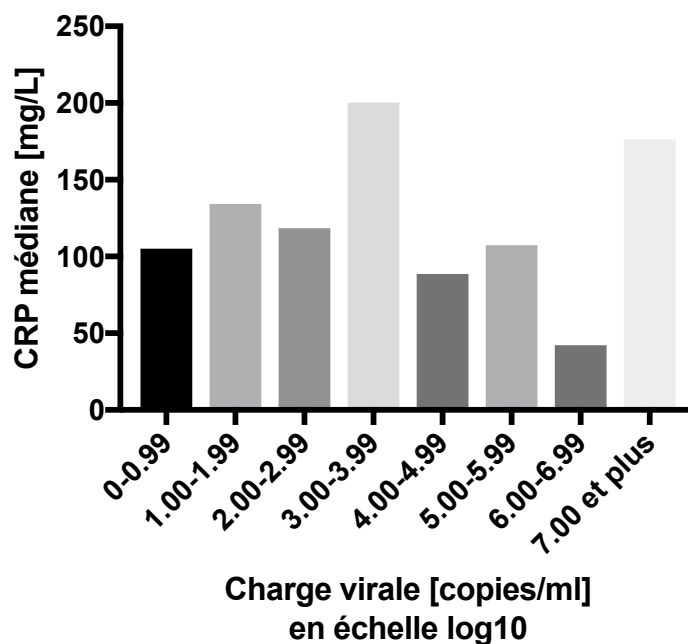


Figure A - Distribution de la CRP médiane en fonction de la charge virale

### Relation entre la charge virale et les évènements « pro-inflammatoires »

#### Charge virale en fonction de la mise en évidence ou non d'une pneumonie

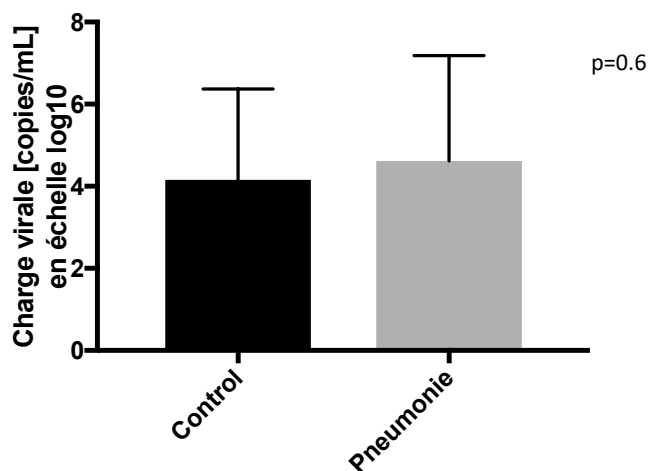


Figure B - Charge virale en fonction de la mise en évidence ou non d'une pneumonie (Comparaison par le test de Mann-Whitney (test non-paramétrique))

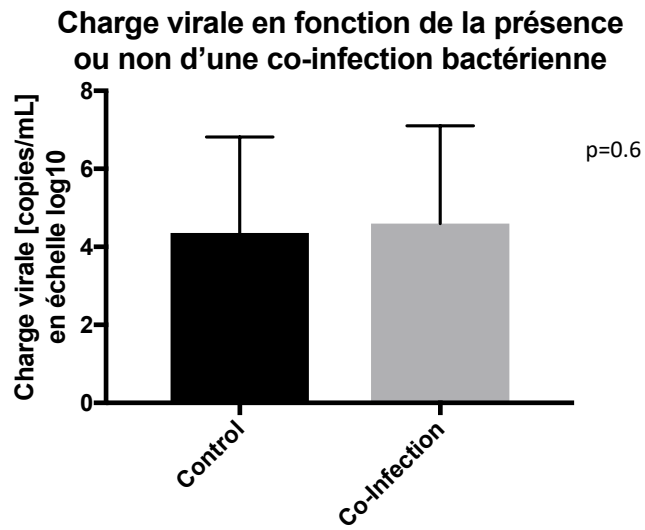


Figure C - Charge virale en fonction de la présence ou non d'une co-infection bactérienne (Comparaison par le test de Mann-Whitney (test non-paramétrique))

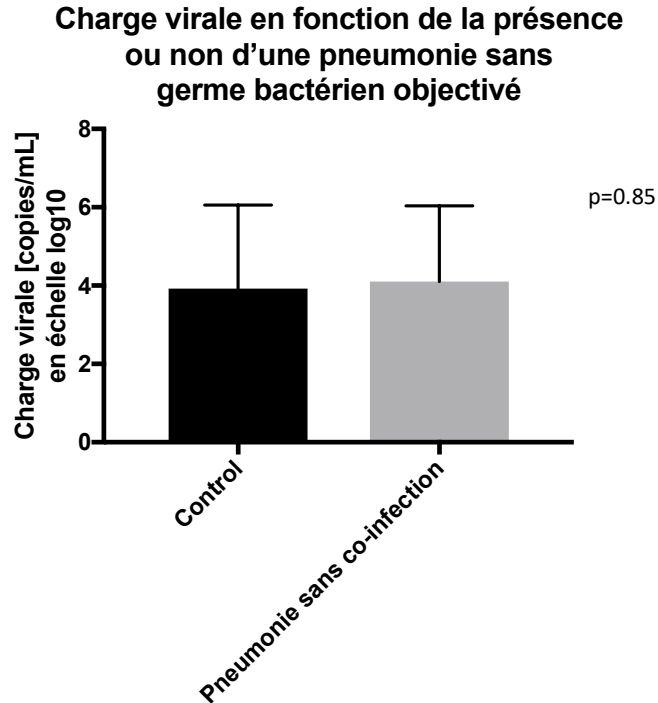


Figure D - Charge virale en fonction de la présence ou non d'une pneumonie sans germe bactérien objectivé (Comparaison par le test de Mann-Whitney (test non-paramétrique))

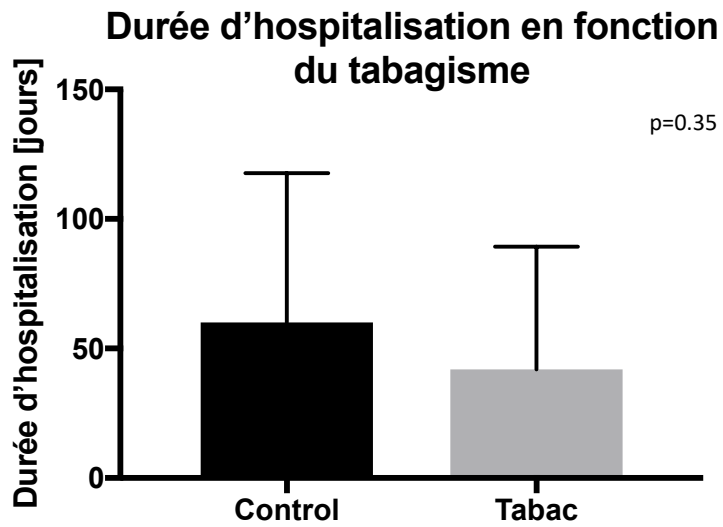


Figure E - Durée d'hospitalisation en fonction du tabagisme (Comparaison par le test de Mann-Whitney (test non-paramétrique))

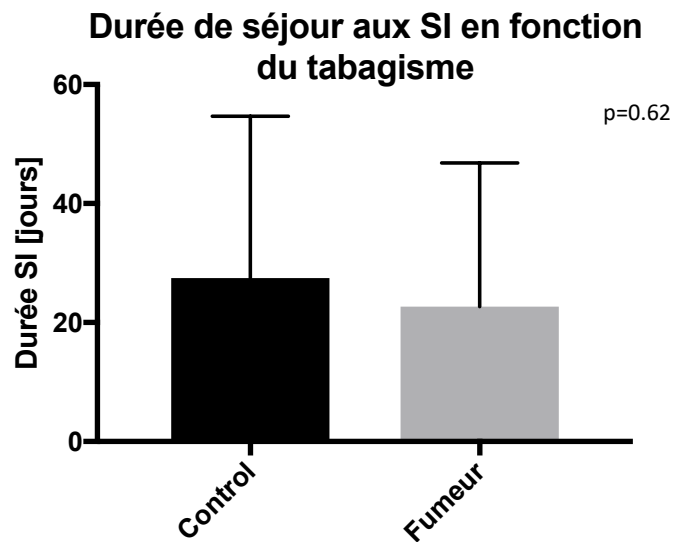


Figure F - Durée de séjour aux soins intensifs en fonction du tabagisme (Comparaison par le test de Mann-Whitney (test non-paramétrique))

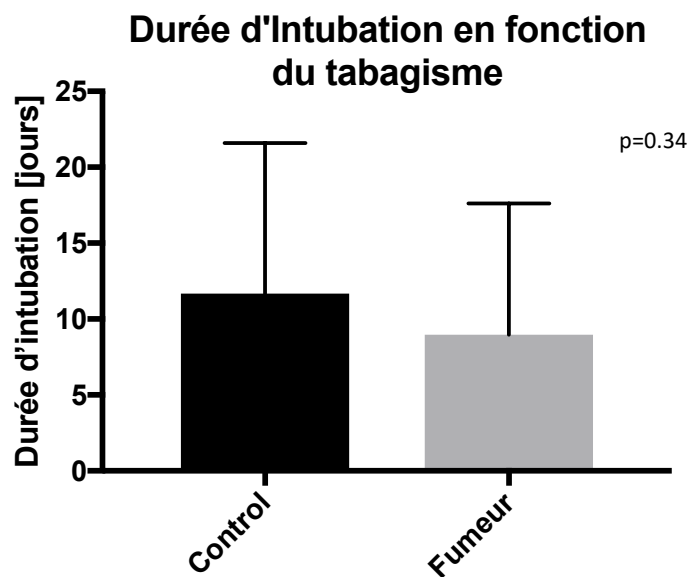
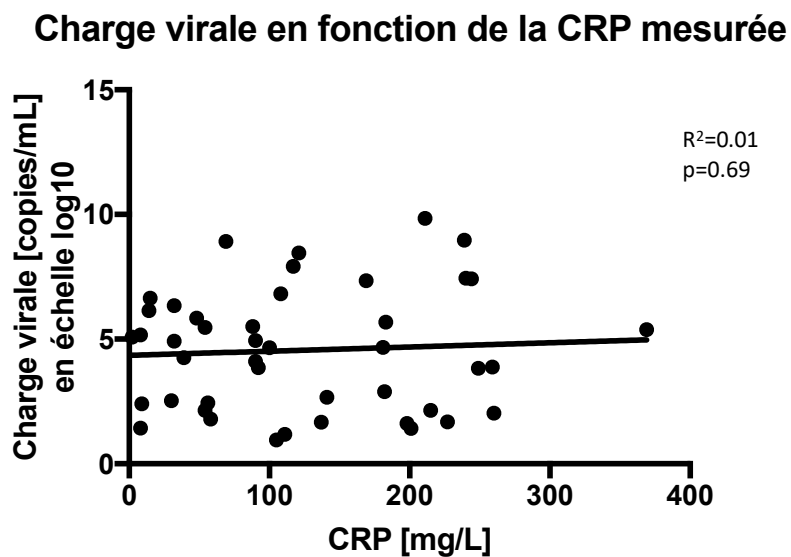


Figure G - Durée d'intubation en fonction du tabagisme (Comparaison par le test de Mann-Whitney (test non-paramétrique))



# Relation entre la charge virale et mortalité

Charge virale en fonction de la survie ou du décès

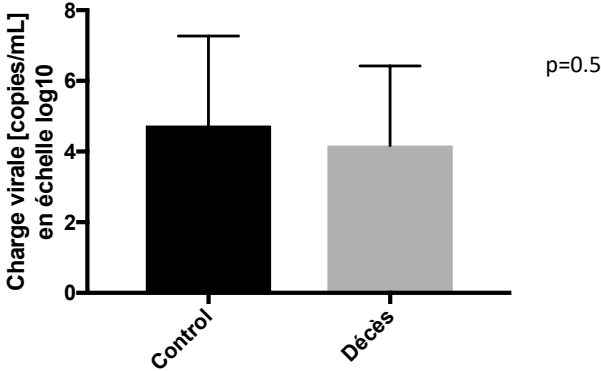


Figure I - Charge virale en fonction de la survie ou du décès (Comparaison par le test de Mann-Whitney (test non-paramétrique))

Relation entre la présence d'une co-infection bactérienne et le taux de décès

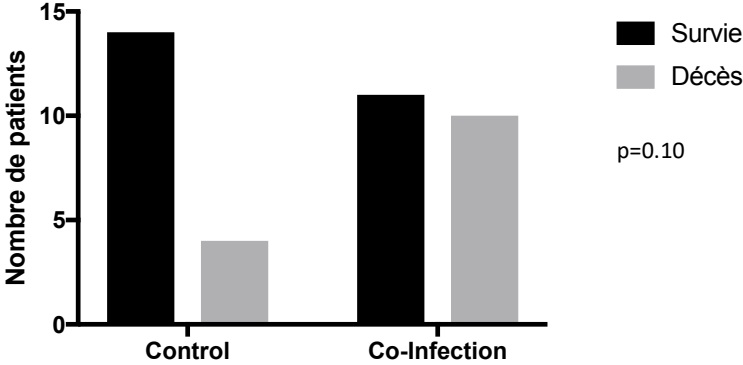


Figure J - Relation entre la présence d'une co-infection bactérienne et le taux de décès (Corrélation par le test de Chi-carré)

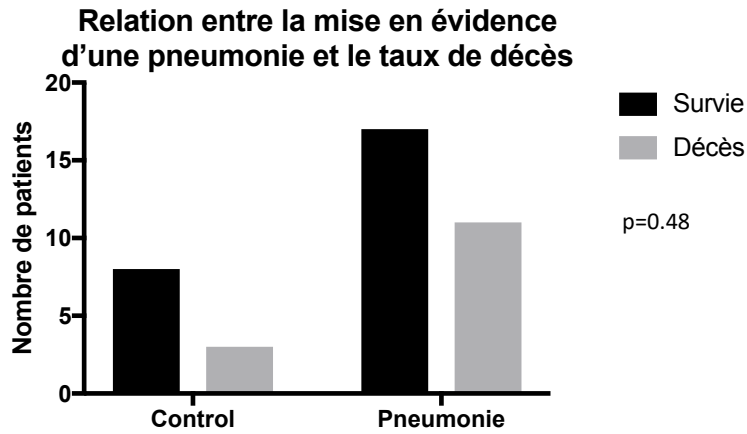


Figure K - Relation entre la mise en évidence d'une pneumonie et le taux de décès (Corrélation par le test de Chi-carré)

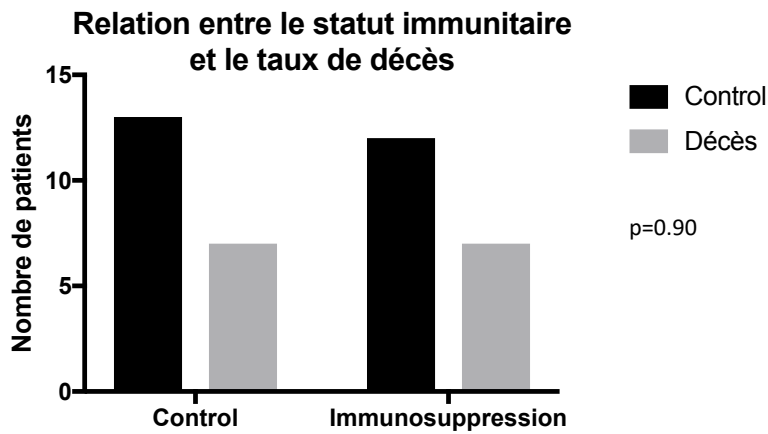


Figure L - Relation entre le status immunitaire et le taux de décès (Corrélation par le test de Chi-carré)

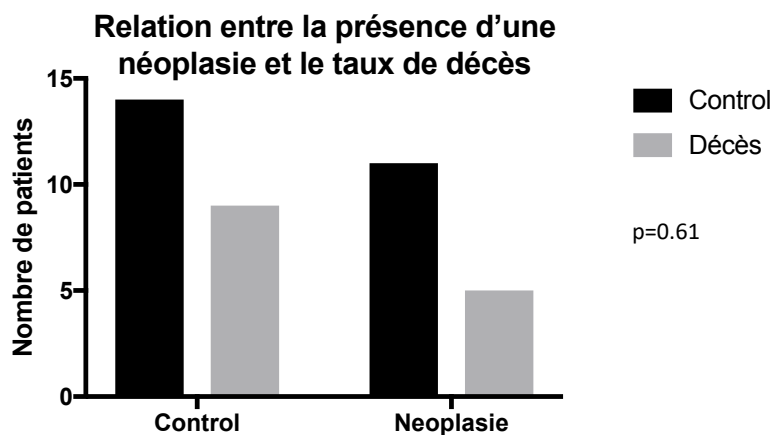


Figure M - Relation entre la présence d'une néoplasie et le taux de décès (Corrélation par le test de Chi-carré)

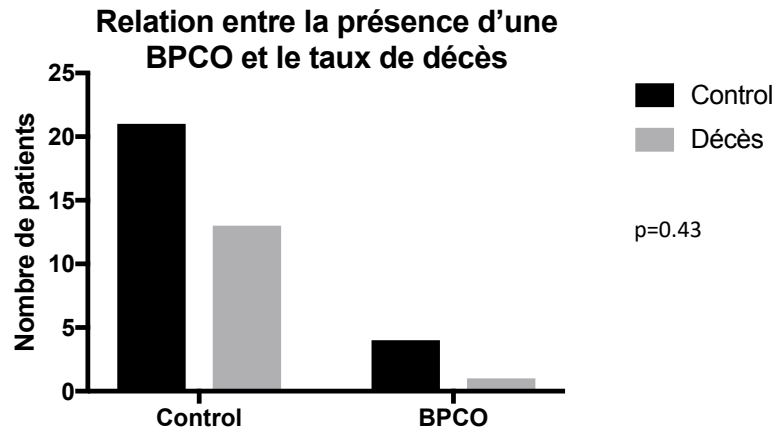


Figure N - Relation entre la présence d'une BPCO et le taux de décès (Corrélation par le test de Chi-carré)

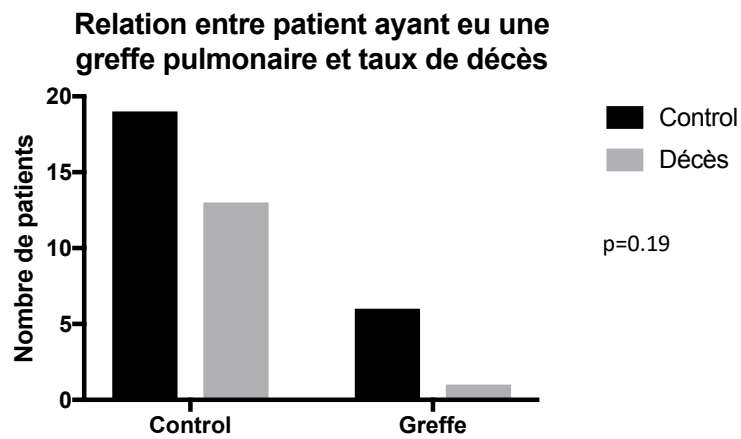


Figure O - Relation entre patient ayant eu une greffe pulmonaire et taux de décès (Corrélation par le test de Chi-carré)

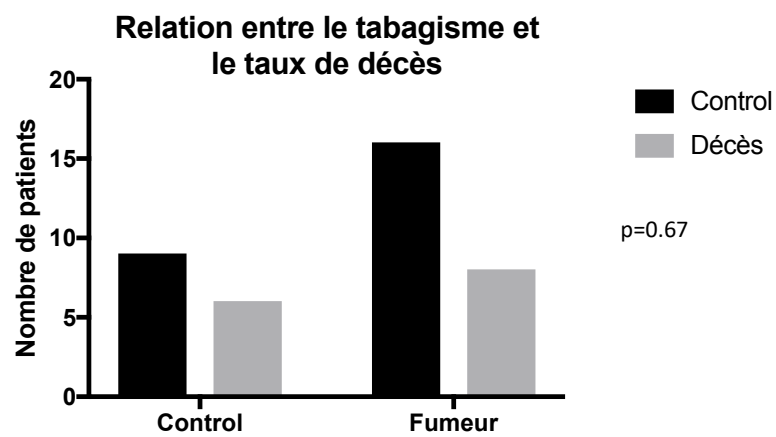


Figure P - Relation entre le tabagisme et le taux de décès (Corrélation par le test de Chi-carré)

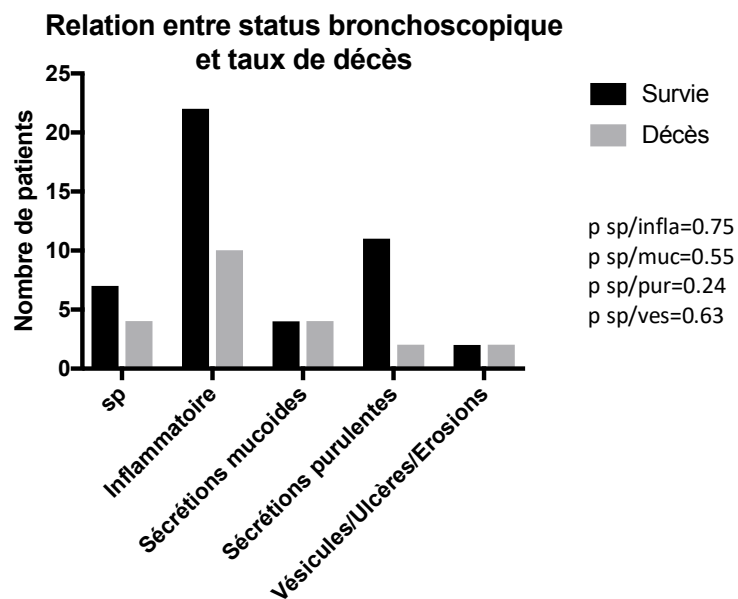


Figure Q - Relation entre status bronchoscopique et taux de décès (Corrélation par le test de Chi-carré, par comparaison entre le status sans particularité et chaque condition étudiée) A noter la présence de 4 corrélations et d'un seuil de significativité à 0.0125 selon la correction de Bonferroni

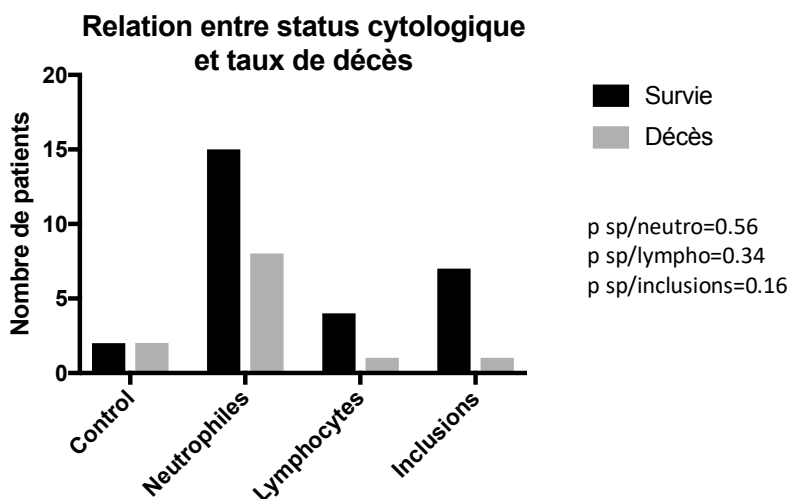


Figure R - Relation entre status cytologique et taux de décès (Corrélation par le test de Chi-carré, par comparaison entre le status sans particularité et chaque condition étudiée) A noter la présence de 3 corrélations et d'un seuil de significativité à 0.017 selon la correction de Bonferroni



# Relation entre la charge virale et co-morbidités

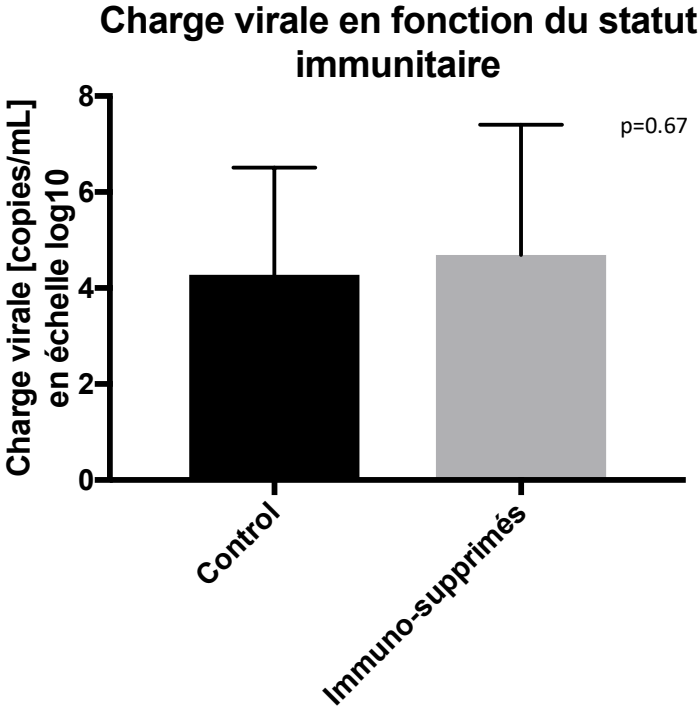


Figure S - Charge virale en fonction du statut immunitaire (Comparaison par le test de Mann-Whitney (test non-paramétrique))

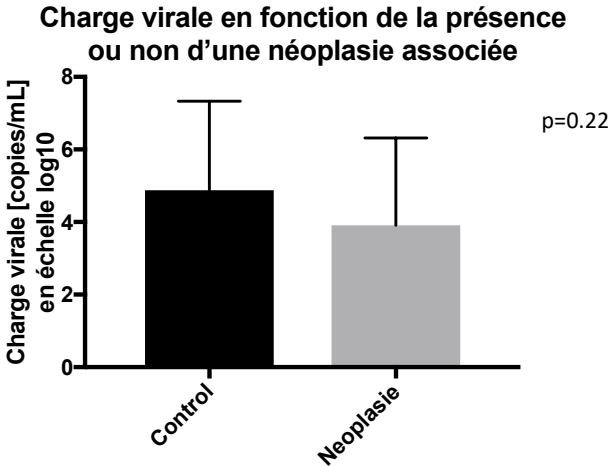


Figure T - Charge virale en fonction de la présence ou non d'une néoplasie associée (Comparaison par le test de Mann-Whitney (test non-paramétrique))

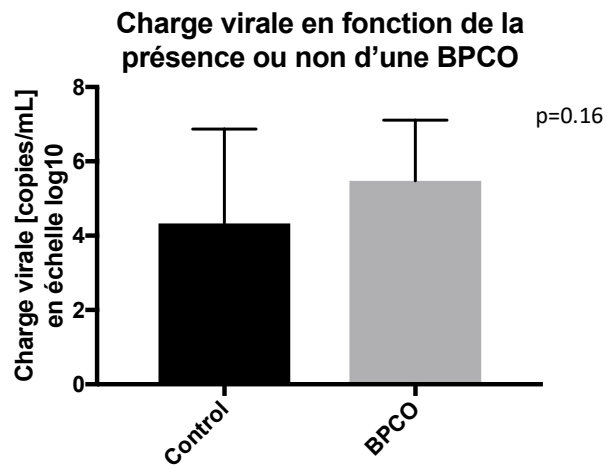


Figure U - Charge virale en fonction de la présence ou non d'une BPCO (Comparaison par le test de Mann-Whitney (test non-paramétrique))

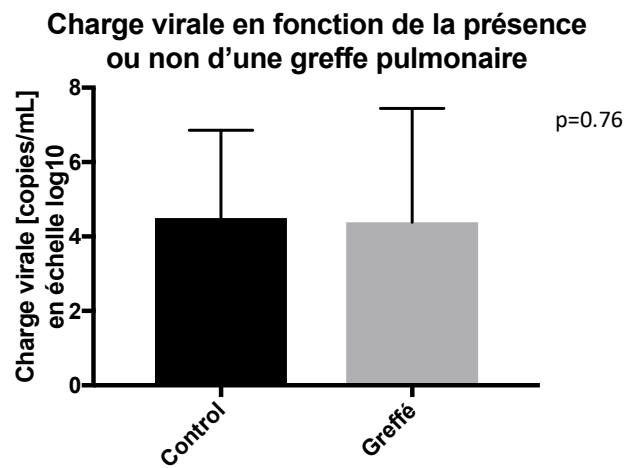


Figure V - Charge virale en fonction de la présence ou non d'une greffe pulmonaire (Comparaison par le test de Mann-Whitney (test non-paramétrique))

# Relation entre la charge virale et l'administration d'un traitement spécifique

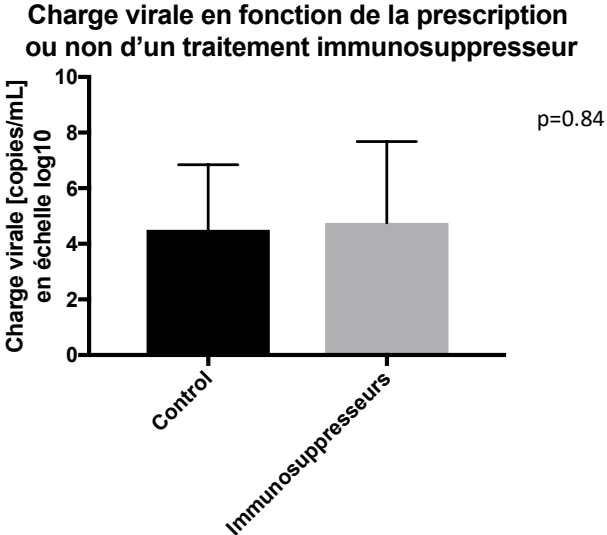


Figure W - Charge virale en fonction de la prescription ou non d'un traitement immunosuppresseur (Comparaison par le test de Mann-Whitney (test non-paramétrique))

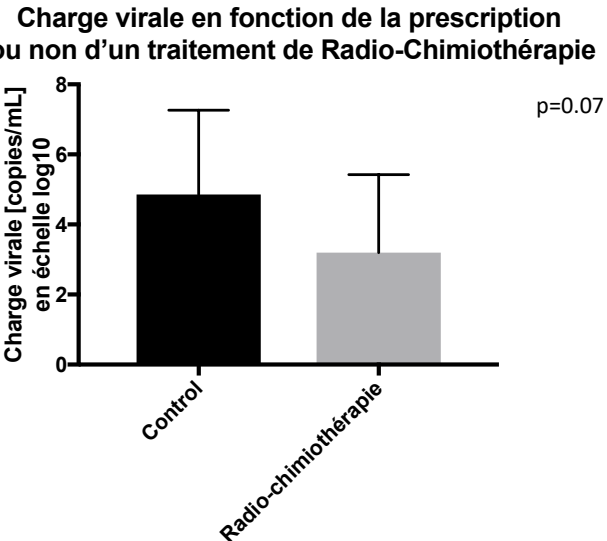


Figure X - Charge virale en fonction de la prescription ou non d'un traitement de radio-chimiothérapie (Comparaison par le test de Mann-Whitney (test non-paramétrique))

### Charge virale en fonction de la prescription ou non d'un traitement de corticostéroïdes

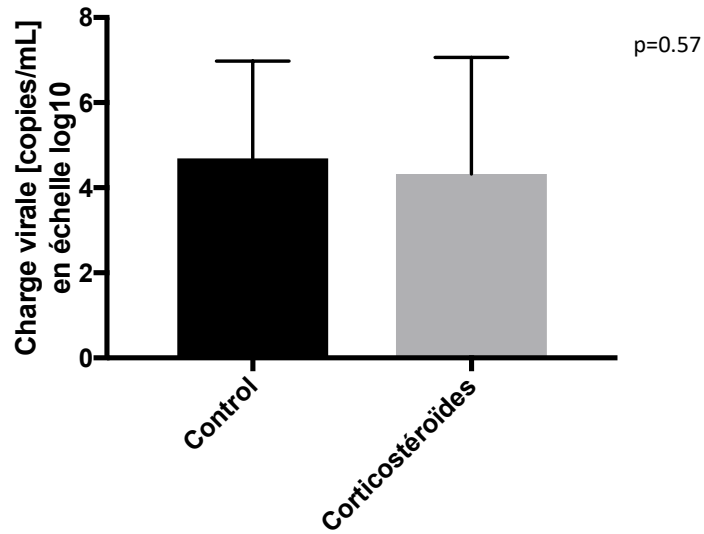


Figure Y - Charge virale en fonction de la prescription ou non d'une corticothérapie (Comparaison par le test de Mann-Whitney (test non-paramétrique))

### Charge virale en fonction de la dose de corticostéroïdes

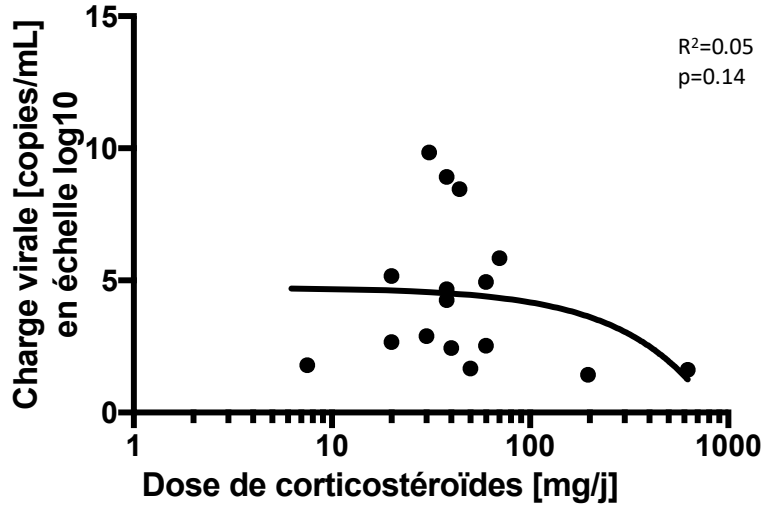


Figure Z - Charge virale en fonction de la dose de corticostéroïdes (Corrélation par régression linéaire)